

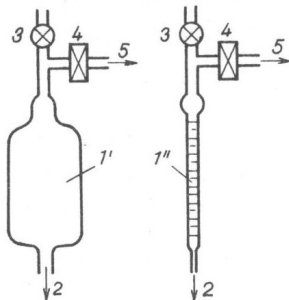
Měření proudu plynu

$$I = Sp \text{ [Pa m}^3\text{s}^{-1}\text{]}$$

$$I = G(p_2 - p_1)$$

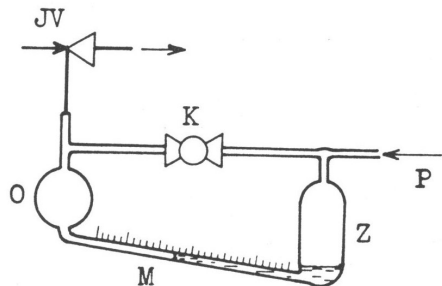
- Pomocí průtokoměru (plovákový, elektronický)
- Pomocí prvku se známou vakuovou vodivostí
- Pomocí kalibrované byrety a pracovní kapaliny

Plynová byreta

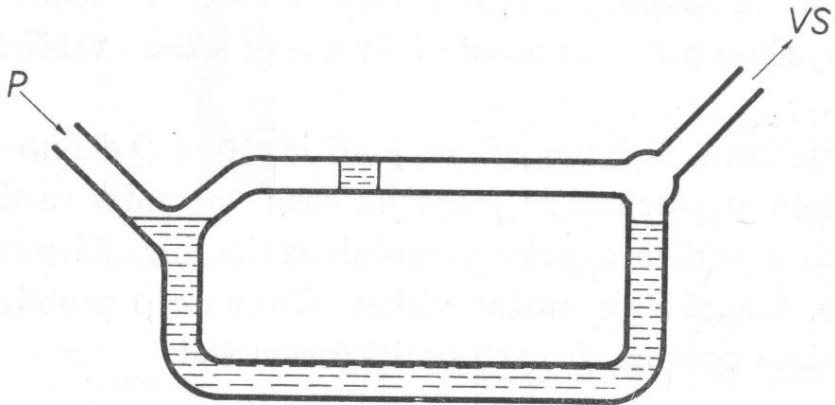


Obr. 5.94. Jednoduché zařízení na měření
a přípravu určitého proudu plynu
1' – zásobník; 1'' – trubice; 2 – k nádobě
s kapalinou; 3 – kohouty; 4 – vpouštěcí
kohouty; 5 – k vakuové aparatuře

Obr. 13: Plynová mikrobyreta:
M - měrná kapilára s děléním podle objemu; Z - zásobník kapaliny;
O - ochranná nádobka; K - kohout (pro vyrovnání tlaků), P - přívod plynu; JV - jehlový ventil pro řízené napouštění plynu do vakua.



J.Král: Cvičení z vakuové techniky, ČVUT Praha 1996

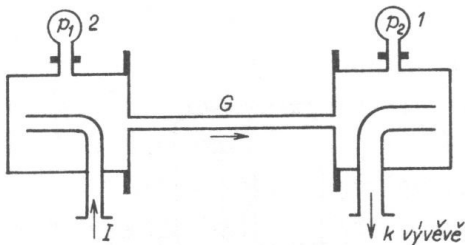


Obr. 7-43b. Měření objemu plynu cirkulující kapkou

P — vpouštěný plyn

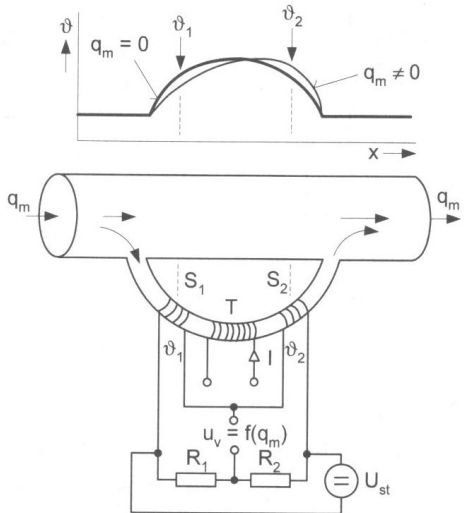
VS — vakuový systém, do nějž se vpouští plyn.

Měření pomocí vodivosti



Obr. 5.95. Vakuové zařízení pro měření proudu plynu
1, 2 – vakuometry; G – trubice se známou vodivostí

$$I = G(p_1 - p_2)$$



S.Ďad'o, L. Bejček, A. Platil: Měření průtoku a výšky hladiny, Ben, Praha 2005

Vakuové tuky a tmely

| Druh materiálu | užití | max T [°C] | P _p [Pa] při 25 °C |
|----------------|--------|------------|-------------------------------|
| maz L | zábrus | 30 | $10^{-5} - 10^{-7}$ |
| maz M | zábrus | 30 | $10^{-3} - 10^{-5}$ |
| maz N | kohout | 30 | $10^{-4} - 10^{-5}$ |
| maz T | zábrus | 110 | 10^{-5} |
| tmel Picein | spoje | 60 | $10^{-2} - 10^{-3}$ |

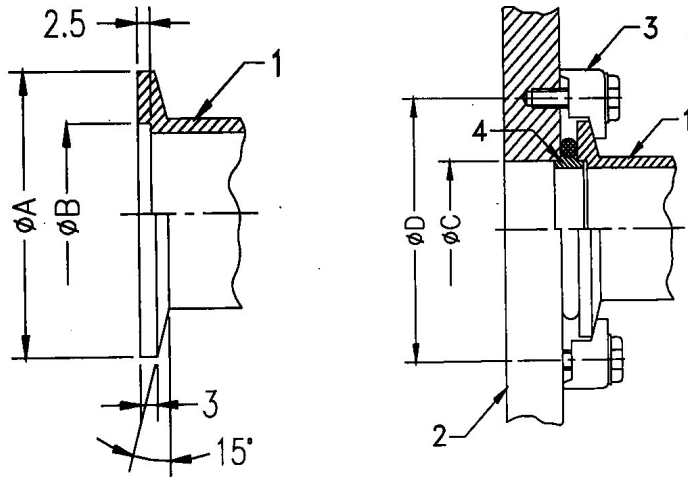
Vakuová hygiena

Čistota povrchů, odmašťování, vyčištěných dílů se dotykat pouze v rukavicích.

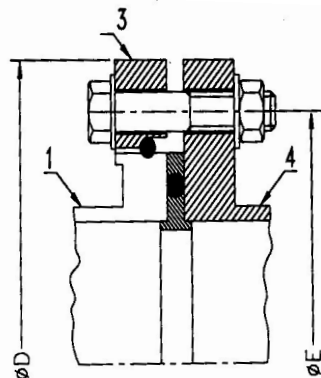
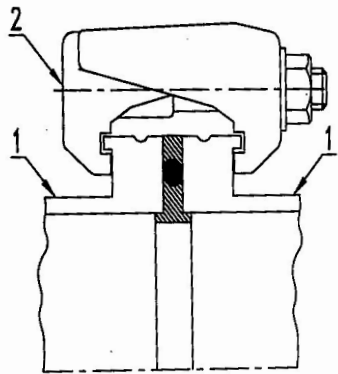
Rozebiratelné spoje

- ISO-KF (NW) - 10, 16, 25, 40, 50
- ISO-K - 63, 80, 100, 160, 200, 250, ...
- CF - 16, 25, 40, ... , 350

ISO-KF

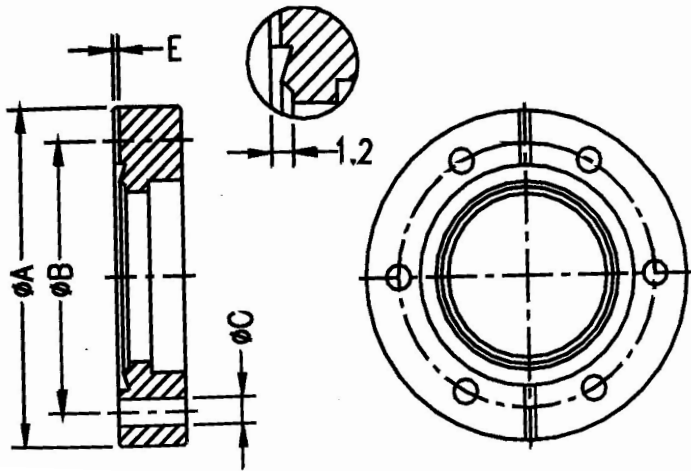


ISO-K



firemní materiály firmy Pfeiffer

CF



firemní materiály firmy Pfeiffer

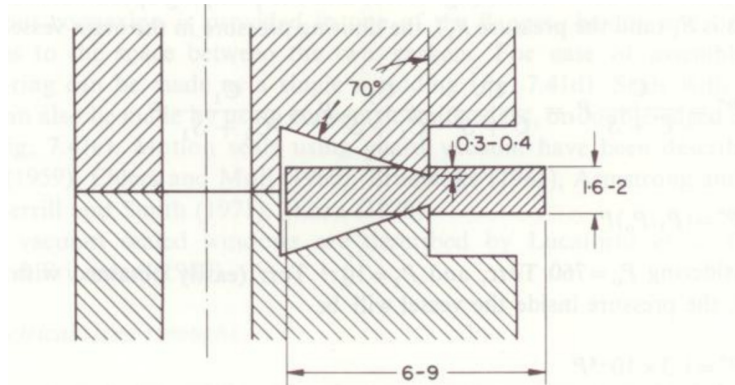
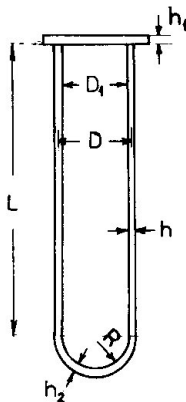


Fig. 7.39 The Conflat seal (Varian). After Wheeler and Carlson (1962).

A. Roth: Vacuum technology, Elsevier, 1990

| těsnění | min. tep. [°C] | max. tep. [°C] |
|------------------|----------------|----------------|
| elastomer | | |
| FKM | -15 | 150 |
| NBR | -25 | 120 |
| silikon | -55 | 200 |
| kov | | |
| Cu | -196 | 200 |
| Cu + Ag | -196 | 450 |

Mechanické vlastnosti



| Material | Cylinders | | End plates | | Hemispherical |
|-----------------------|-----------|-------------------|--------------------------------|-------------------|------------------|
| | D/h | L _c /D | D ₁ /h ₁ | h ₁ /δ | R/h ₂ |
| Copper at 20°C | 84 | 10 | 52 | 15 | 600 |
| Copper at 500°C | 58 | 8.5 | — | — | — |
| Nickel at 20°C | 100 | 11 | 73 | 8 | 780 |
| Nickel at 500°C | 90 | 10.5 | — | — | — |
| Aluminum 20°C | 70 | 9 | 37 | 57 | 470 |
| Aluminum 500°C | 62 | 8.7 | — | — | — |
| Stainless steel 20°C | 105 | 11.6 | 89 | 3 | 830 |
| Stainless steel 500°C | 89 | 10.5 | — | — | — |
| Glass (hard) 20°C | 70 | 9 | 16 | 117 | 470 |
| Neoprene 20°C | 2.5 | 1.7 | 10 | 0.2 | 30 |
| Teflon 20°C | 12 | 3.8 | 14 | 9 | — |
| PVC (Tygon) | 3.7 | 2.1 | — | — | — |
| Perspex | — | — | 30 | — | — |
| Mica | — | — | 58 | 15 | — |

Roth: Vacuum technology, Elsevier, 1990

Válec, $D_1 \sim D = 25 \text{ cm}$, $T = 20^\circ C$

| | $h[\text{mm}]$ | $h_1[\text{mm}]$ | $\delta[\text{mm}]$ |
|---------------|----------------|------------------|---------------------|
| Cu | 3 | 5 | 0,33 |
| Al | 3,6 | 6,76 | 0,12 |
| nerezová ocel | 2,4 | 2,81 | 0,93 |
| tvrdé sklo | 3,6 | 15,6 | 0,13 |
| teflon | 20,8 | 17,9 | 1,88 |

Vakuové komory

- sklo
- nerezová ocel
- dural
- ...

Vakuové ventily

Dělení podle různých principů

Podle funkčnosti

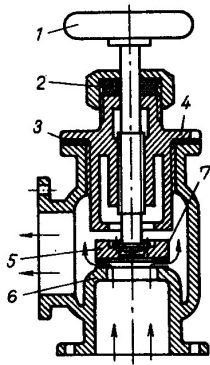
- oddělovací
- napouštěcí
- zavzdušňovací
- omezení čerpací rychlosti

Ovladání

- ruční
- pneumatický
- elektromagnetický

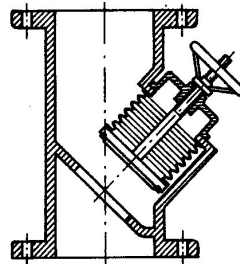
Oblast použití

- hrubé vakuum
- HV vakuum
- UHV, XHV vakuum

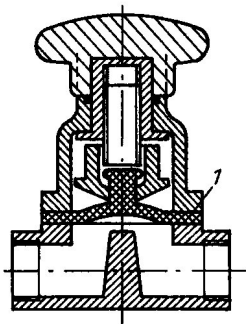


Obr. 6.27. Ventil s talířkem přitlačovaným šroubem

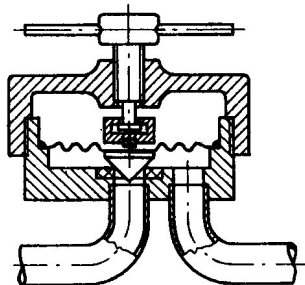
1 – rukojeť; 2 – těsnění; 3 – těsnící kroužek; 4 – horní příruba; 5 – talířek; 6 – dolní příruba; 7 – těsnění talířku



Obr. 6.28. Ventil těsněný vlnovcem



Obr. 6.32. Ventil pro nízké vakuum
s membránovým těsněním (firma Leybold)

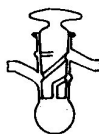


Obr. 6.33. Řez ventilu s kuželovým čepem
a membránovým těsněním pro ultravysoké
vakuum

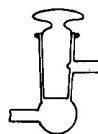
J. Groszkowski: Technika vysokého vakua, SNTL, Praha 1981



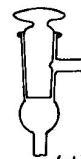
(a)



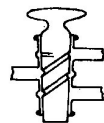
(b)



(c)



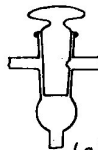
(d)



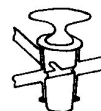
(e)



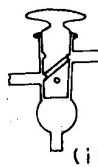
(f)



(g)



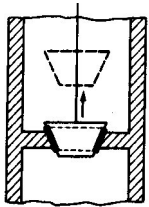
(h)



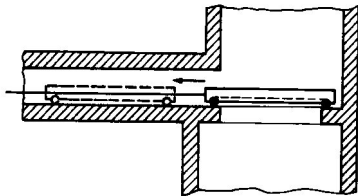
(i)



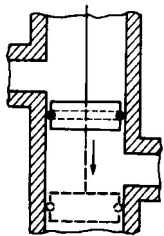
(j)



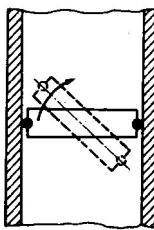
(d)



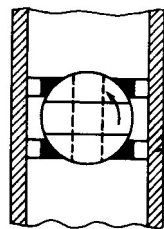
(e)



(f)



(g)



(h)

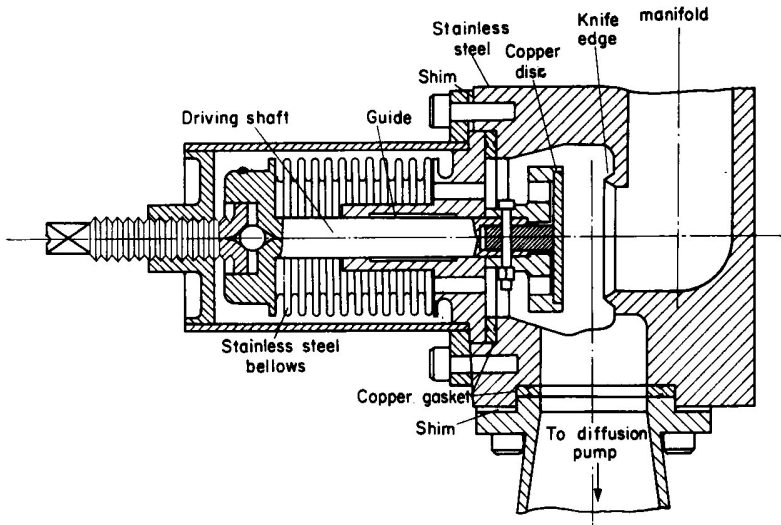


Fig. 7.65 Ultra-high vacuum valve. After Baker (1962).

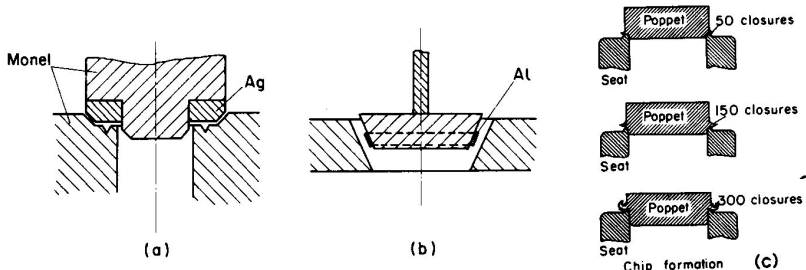
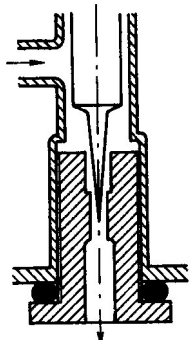


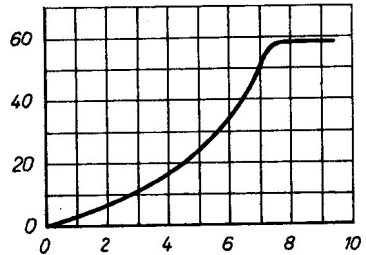
Fig. 7.63 Closing systems of all-metal valves; (a) with flat silver ring (Bills and Allen, 1955); (b) with aluminum conical ring (Kienel and Lorenz, 1960); (c) with copper poppet (Parker and Mark, 1961).

A. Roth: Vacuum technology, Elsevier, 1990

Jehlový ventil

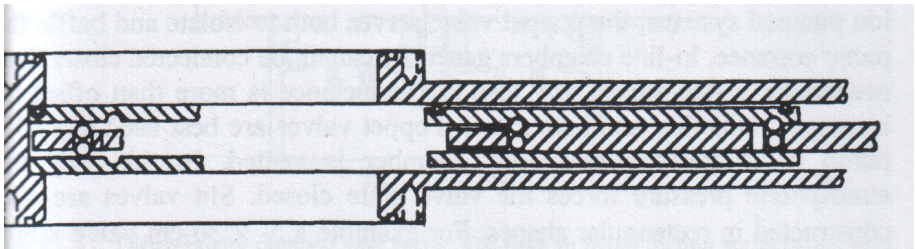


$$I_N (\text{cm}^3(\text{NTP})\text{s}^{-1})$$



J. Groszkowski: Technika vysokého vakua, SNTL, Praha 1981

Deskový ventil



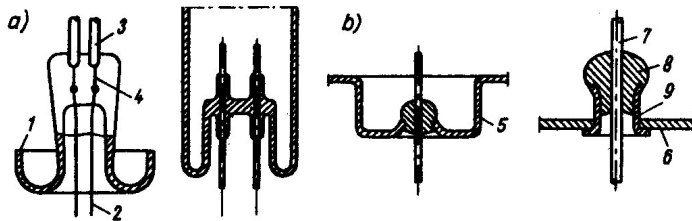
F.OHanlon: A Users Gaude to Vacuum Technology, Wiley (2003)

- deskové ventily - při otevírání dif.tlak menší než ~ 30 hPa
- ventily s kovovým těsněním - omezený počet cyklů
- jehlové ventily - nedotahovat silou
- zábrusové ventily - dobře namazat

Elektrické průchodky

Vakuum v rozsahu tlaků 1 – 5000 Pa je velmi špatný elektrický izolant.
Průchodky vybíráme podle:

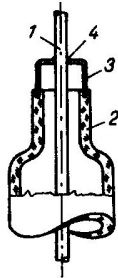
- napětí
- proudu
- frekvence



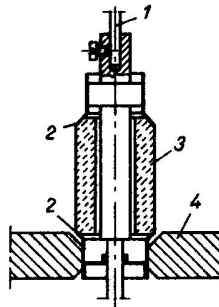
Obr. 6.47. Elektrické průchodky pro slabé proudy

a) vodič z plášťového nebo platinovaného drátku zataveného ve skle, b) průtav skleněnou perličkou zatavenou do otvoru v kovové stěně

J. Groszkowski: Technika vysokého vakua, SNTL, Praha 1981

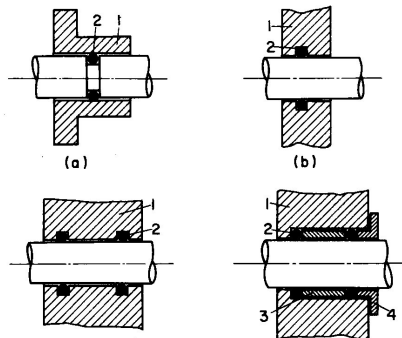


Obr. 6.48. Silnoproudá průchodka skleněnou trubici
1 – průtav; 2 – sklo; 3 – kovarová čepička; 4 – pájka



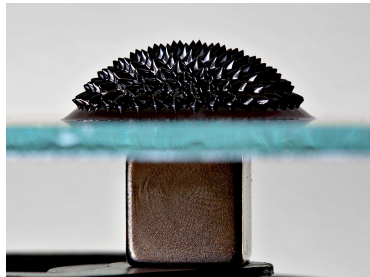
Obr. 6.49. Silnoproudá průchodka kovovou stěnou s keramickým izolátorem
1 – přívod; 2 – spoj kovu s keramikou;
3 – keramika; 4 – stěna vakuového systému

Přenos rotace do vakua

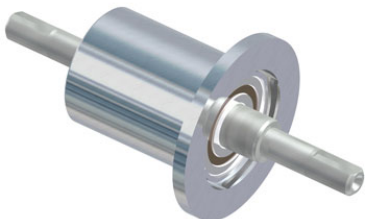


A. Roth: Vacuum technology, Elsevier, 1990

Ferro-kapaliny

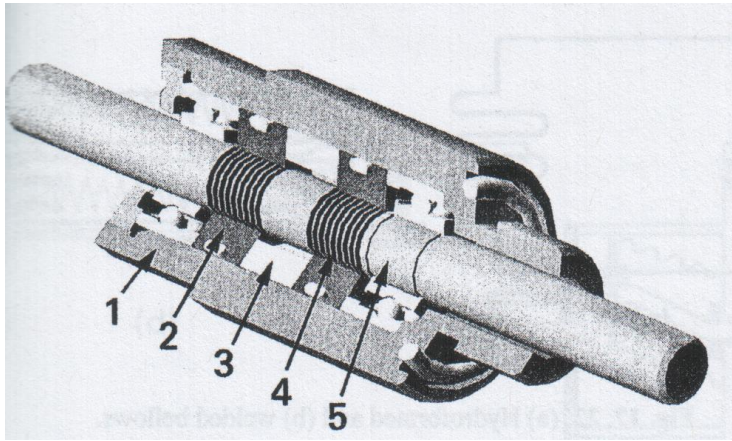


en.wikipedia.org/wiki/Ferrofluid



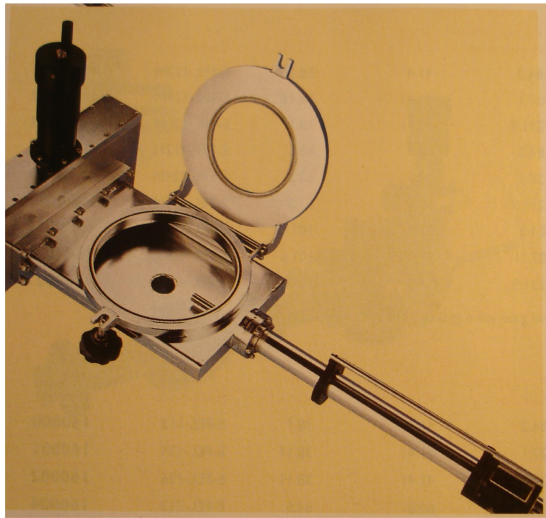
www.ferrotec.com

Rotace - ferro kapaliny



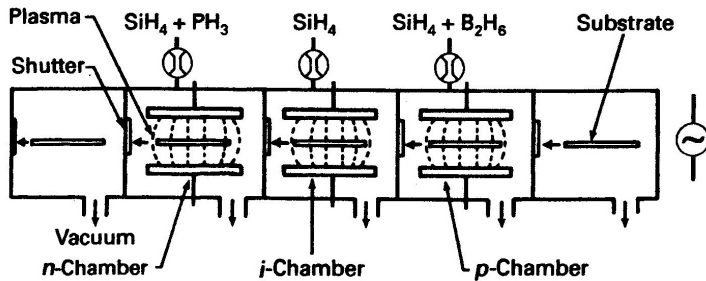
F.OHanlon: A Users Guide to Vacuum Technology, Wiley (2003)

Load lock



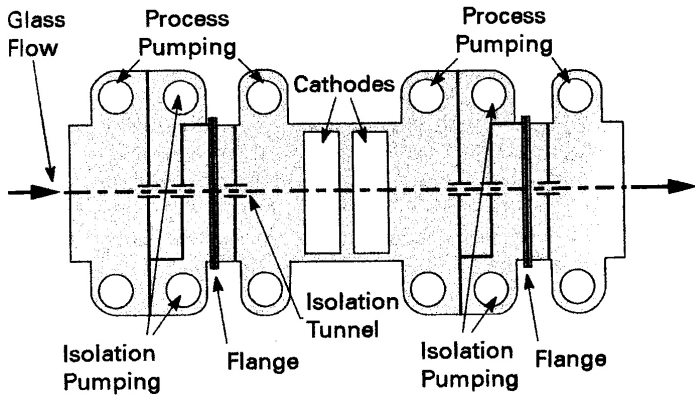
firemní materiály firmy Caburn MDC

Výroba solárních článků



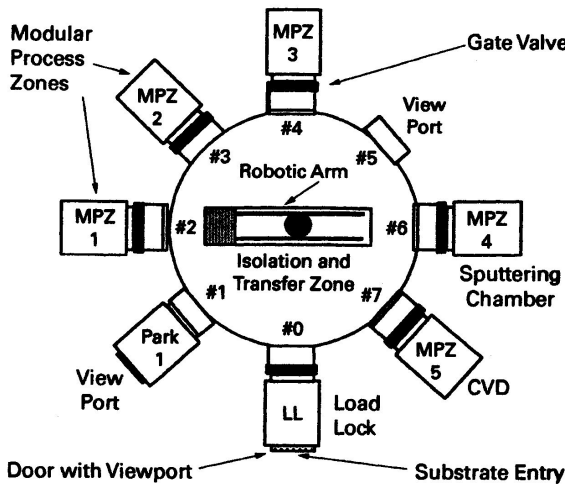
F.OHanlon: A User's Guide to Vacuum Technology, Wiley (2003)

Pokovení skel



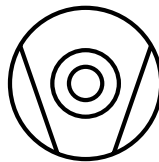
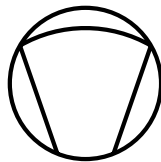
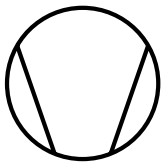
F.OHanlon: A Users Guide to Vacuum Technology, Wiley (2003)

Si - substráty



Schémata

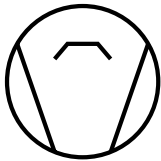
Vakuové značky norma DIN 28401



vývěva - obecný symbol

membránová vývěva

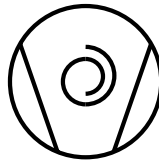
turbomolekulární vývěva



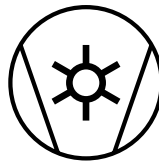
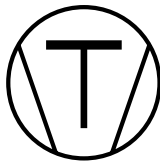
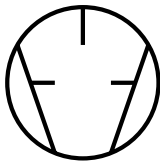
difuzní vývěva



Rootsova vývěva



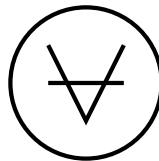
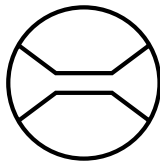
Scroll vývěva



rotační lopatková vývěva

pístová vývěva

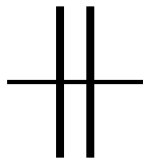
vodokružní vývěva



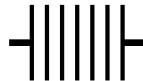
sublimační vývěva

průtokoměr

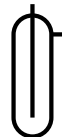
manometr



rozebíratelný spoj



flexibilní spoj



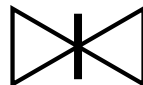
vymrazovačka



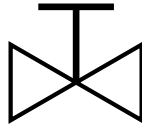
vakuová komora



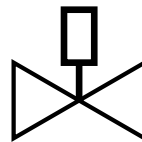
ventil - obecný symbol



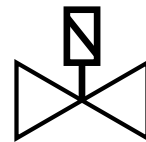
deskový ventil



ventil ovládaný ručně



pneumatický ventil



elektromagnetický ventil

Navazující přednášky:

Vakuová fyzika 2 - F6450

- Vázané plyny
- Sorpční vývěvy
 - kryogenní
 - zeolitové
 - sublimační
 - iontové
 - vypařované getry
 - nevypařované getry – NEG
- Měření ve vakuové fyzice
 - měření proudu plynu
 - měření tenze par plynu
- Konstrukční prvky vakuových zařízení - vhodné materiály, spoje,...

Praktikum z vakuové fyziky - F7541

1. Měření vodivosti vakuových spojů
2. Kalibrace Piraniho manometru
3. Graduace Peningova manometru
4. Měření parciálních tlaků
5. Měření čerpací rychlosti metodou konstantního tlaku
6. Napařování tenkých kovových vrstev
7. Kalibrace ionizačního manometru se žhavenou katodou
8. Čerpací efekt molekulového síta
9. Měření čerpací rychlosti turbomolekulární vývěvy
10. Seznámení s iontovou vývěvou